

Ab initio proučavanje neadijabatskih efekata kod malih molekula

Marko Mitić

Fakultet za fizičku hemiju, Univerzitet u Beogradu

Seminar iz fizike/astrofizike
Departman za fiziku, PMF, Novi Sad
15. april 2016.



"Fizički zakoni na kojima počiva veliki deo fizike i **cela** hemija su, dakle, potpuno poznati i problem je **samo** u tome što egzaktna primena tih zakona vodi do jednačina koje su isuviše komplikovane da bi se mogle rešiti."

— P. A. M. Dirak, 1929.

Sadržaj izlaganja

1 Kvantno-hemski problem

- Šredingerova jednačina
- Born-Openhajmerova aproksimacija
- *Ab initio* metode

2 Mali molekuli

3 Rener-Telerov efekat - opšta razmatranja

4 Model za tretiranje R-T efekta kod četvoroatomskih molekula

- Modelni hamiltonijan
- Elektronske bazne funkcije
- Elektronske bazne funkcije - dijabatizacija
- Mala odstupanj od linearnosti
- Ugao τ
- S-O matrični elementi
- Vibronska baza
- Rezultati

5 Model za molekule sa proizvoljnim brojem jezgara

Sadržaj izlaganja

- 1 Kvantno-hemski problem
 - Šredingerova jednačina
 - Born-Openhajmerova aproksimacija
 - *Ab initio* metode
- 2 Mali molekuli
- 3 Rener-Telerov efekat - opšta razmatranja
- 4 Model za tretiranje R-T efekta kod četvoroatomskih molekula
 - Modelni hamiltonijan
 - Elektronske bazne funkcije
 - Elektronske bazne funkcije - dijabatizacija
 - Mala odstupanj od linearnosti
 - Ugao τ
 - S-O matrični elementi
 - Vibronska baza
 - Rezultati
- 5 Model za molekule sa proizvoljnim brojem jezgara

Šredingerova jednačina

- Molekul \implies S jezgara (A, B, \dots, S)
 N elektrona (α, β, \dots, N)
- Talasna funkcija

$$\Psi = \Psi(r_A, s_A, \dots, r_S, s_S, r_\alpha, s_\alpha, \dots, r_N, s_N)$$

- Šredingerova jednačina

$$\hat{H}\Psi = E\Psi$$

Born-Openhajmerova aproksimacija

- Šredingerova jednačina

$$\hat{H}\Psi(\vec{r}, \vec{R}) = E\Psi(\vec{r}, \vec{R})$$

- Nerelativistički hamiltonijan molekula

$$\begin{aligned} \hat{H} &= \hat{T}_n + \hat{T}_e + \hat{V}_{en} + \hat{V}_{ee} + \hat{V}_{nn} = -\frac{1}{2} \sum_{K=A}^S \frac{1}{m_K} \Delta_K - \frac{1}{2} \sum_{\mu=\alpha}^N \Delta_\mu \\ &\quad - \sum_{\mu=\alpha}^N \sum_{K=A}^S \frac{Z_K}{|\vec{r}_{\mu K}|} + \sum_{\mu=\alpha}^N \sum_{\nu>\mu}^N \frac{1}{|\vec{r}_{\mu \nu}|} + \sum_{K=A}^S \sum_{L>K}^S \frac{Z_K Z_L}{|\vec{R}_{KL}|} \end{aligned}$$

Born-Openhajmerova aproksimacija

- Šredingerova jednačina

$$\hat{H}\Psi(\vec{r}, \vec{R}) = E\Psi(\vec{r}, \vec{R})$$

- Nerelativistički hamiltonijan molekula

$$\begin{aligned} \hat{H} &= \hat{T}_n + \hat{T}_e + \hat{V}_{en} + \hat{V}_{ee} + \hat{V}_{nn} = -\frac{1}{2} \sum_{K=A}^S \frac{1}{m_K} \Delta_K - \frac{1}{2} \sum_{\mu=\alpha}^N \Delta_\mu \\ &\quad - \sum_{\mu=\alpha}^N \sum_{K=A}^S \frac{Z_K}{|\vec{r}_{\mu K}|} + \sum_{\mu=\alpha}^N \sum_{\nu>\mu}^N \frac{1}{|\vec{r}_{\mu\nu}|} + \sum_{K=A}^S \sum_{L>K}^S \frac{Z_K Z_L}{|\vec{R}_{KL}|} \end{aligned}$$

- Elektronski hamiltonijan

$$\hat{H}_e = \hat{T}_e + \hat{V}_{en} + \hat{V}_{ee} + \hat{V}_{nn}$$

Born-Openhajmerova aproksimacija

- Rešavamo elektronsku Šredingerovu jednačinu

$$\hat{H}_e \psi(\vec{r}; \vec{R}) = E_{el}(\vec{R}) \psi(\vec{r}; \vec{R})$$

- Rešavamo jezgarnu Šredingerovu jednačinu

$$\Psi(\vec{r}, \vec{R}) = \sum_j \Phi_j(\vec{R}) \psi_j(\vec{r}; \vec{R})$$

$$[\hat{T}_n + E_{el}(\vec{R}) - E] \Phi_j(\vec{R}) + \sum_j \Lambda_{ij} \Phi_j(\vec{R}) = 0$$

gde je

$$\Lambda_{ij} = -\frac{1}{2} \sum_{K=A}^S \frac{1}{m_K} \left[2 \left\langle \psi_i(\vec{r}; \vec{R}) \middle| \vec{\nabla}_K \psi_j(\vec{r}; \vec{R}) \right\rangle \vec{\nabla}_K + \left\langle \psi_i(\vec{r}; \vec{R}) \middle| \Delta \psi_j(\vec{r}; \vec{R}) \right\rangle \right]$$

Born-Openhajmerova aproksimacija

- Zanemarivanje Λ_{ij}
 - nedijagonalni članovi ($i \neq j$) \Rightarrow adijabatska aproksimacija
 - $(i \neq j) \wedge (i = j) \Rightarrow$ B-O aproksimacija

- Dobijamo sistem jednačina

$$[\hat{T}_n + E_{el}(\vec{R})]\Phi_j(\vec{R}) = E\Phi_j(\vec{R}), \quad j = 1, 2, \dots$$

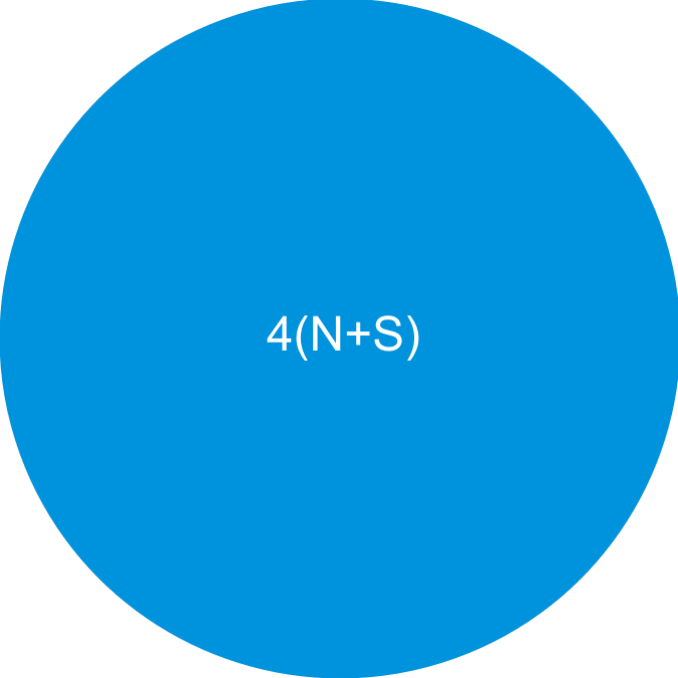
- Narušavanje B-O aproksimacije \implies neadijabatski efekti
 - izbegnuta presecanja potencijalnih površi
 - Jan-Telerov efekat
 - Rener-Telerov efekat

Metode kvantne hemije

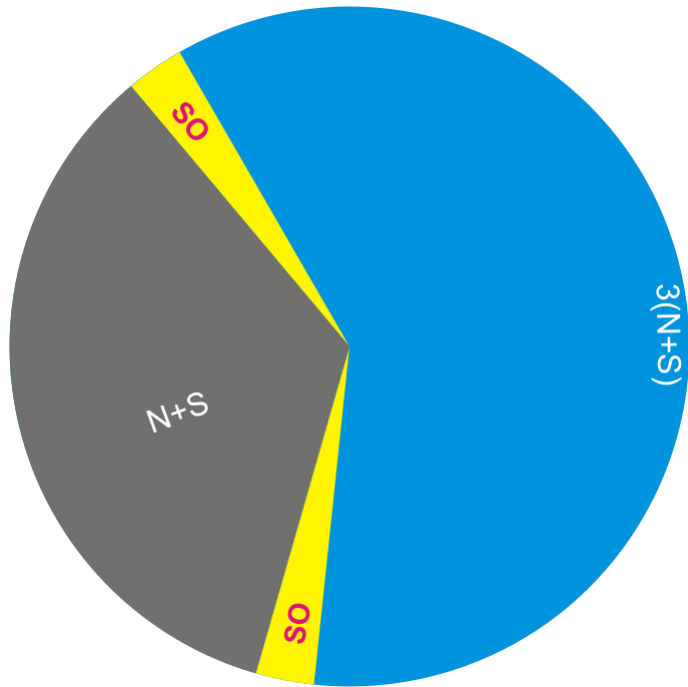
- "*Brute force*" metode
- Semiempirijske metode
- *Ab initio* metode

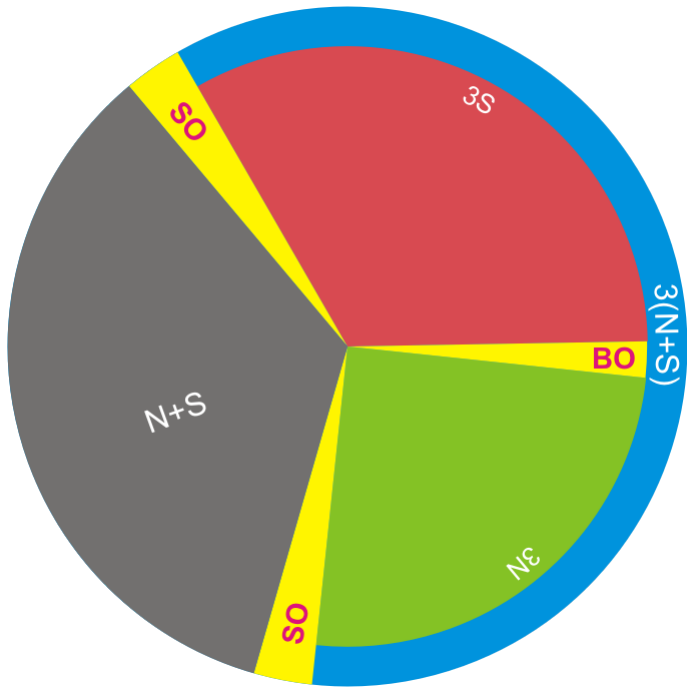
Približne metode

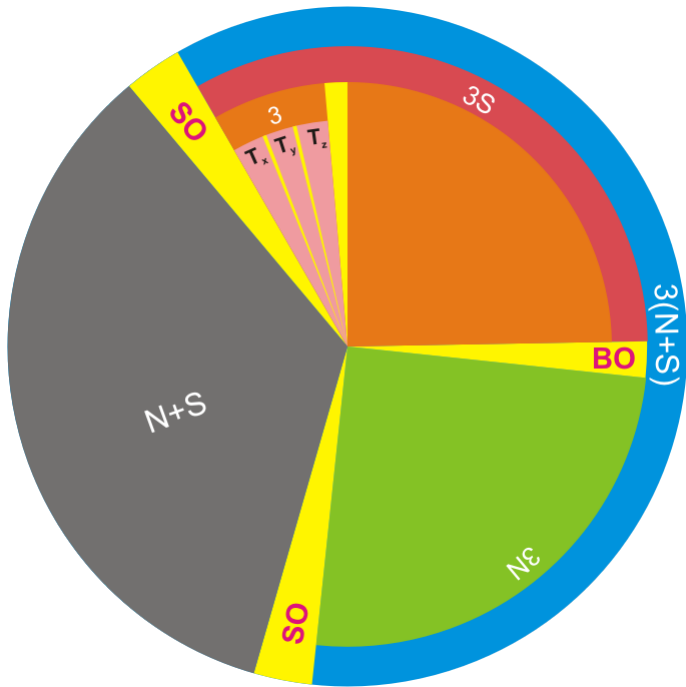
- Perturbacioni račun
- Varijacioni račun

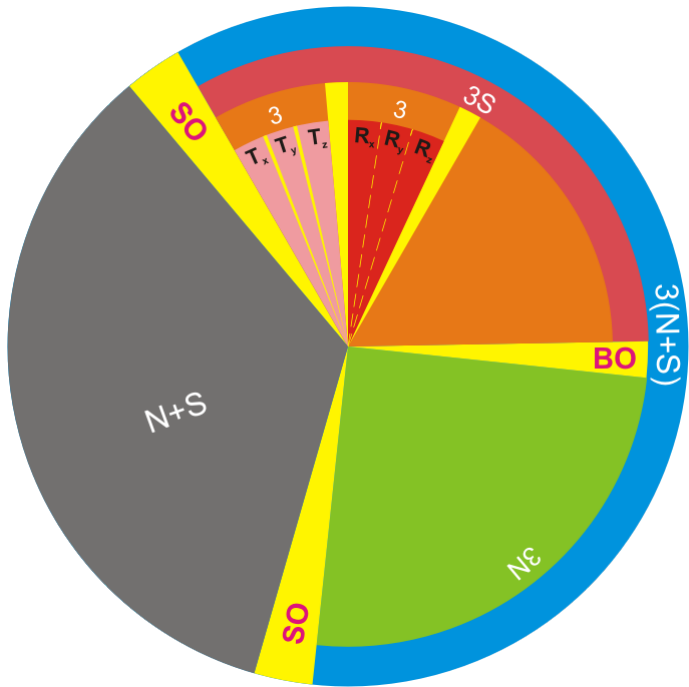


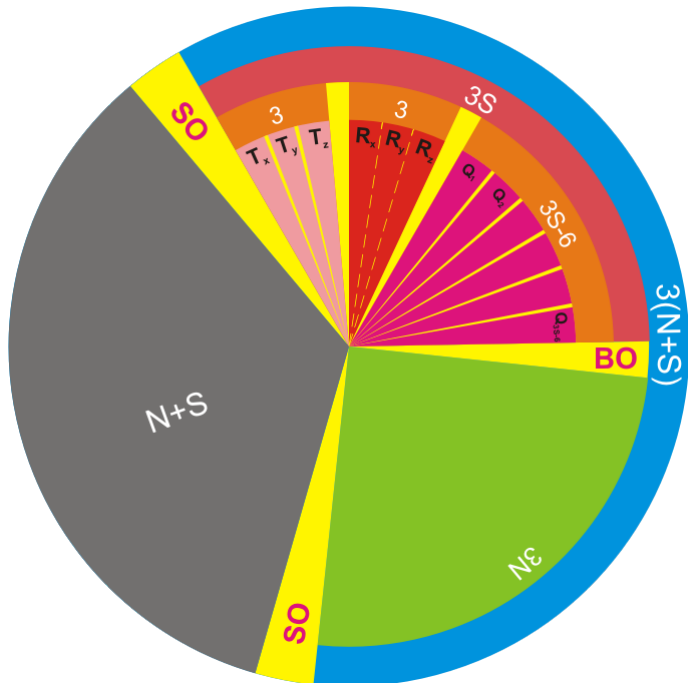
4(N+S)

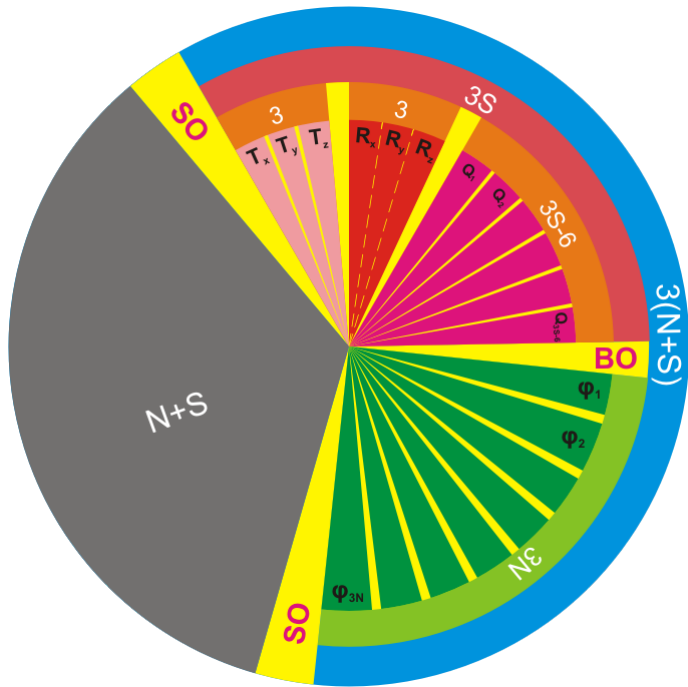






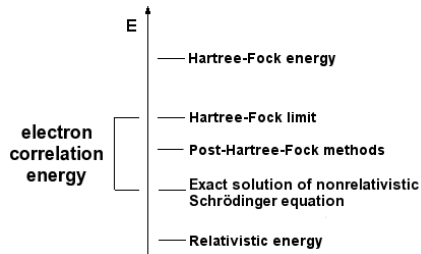






Ab initio metode za rešavanje elektronskog problema

- Hartree-Fock method (HF)
- Density functional theory (DFT)
(*ab initio*?)



Post-Hartree-Fock methods

- Møller–Plesset perturbation theory (MP n)
- Configuration interaction (CI)
- Coupled cluster (CC)

Multi-reference methods

- Multi-configurational self-consistent field (MCSCF, CASSCF)
- Multi-reference configuration interaction (MRCI)
- Complete active space perturbation theory (CASPT n)
- Multi-reference coupled-cluster (MRCC)

Sadržaj izlaganja

1 Kvantno-hemski problem

- Šredingerova jednačina
- Born-Openhajmerova aproksimacija
- *Ab initio* metode

2 Mali molekuli

3 Rener-Telerov efekat - opšta razmatranja

4 Model za tretiranje R-T efekta kod četvoroatomskih molekula

- Modelni hamiltonijan
- Elektronske bazne funkcije
- Elektronske bazne funkcije - dijabatizacija
- Mala odstupanj od linearnosti
- Ugao τ
- S-O matrični elementi
- Vibronska baza
- Rezultati

5 Model za molekule sa proizvoljnim brojem jezgara

Mali molekuli

The Cologne Database for Molecular Spectroscopy

Universität zu Köln, Physikalisches Institut

<http://www.astro.uni-koeln.de/cdms/molecules>

Molecules in the Interstellar Medium or Circumstellar Shells (as of 02/2016)

	2 atoms	3 atoms	4 atoms	5 atoms	6 atoms	7 atoms	8 atoms	9 atoms	10 atoms	11 atoms	12 atoms	>12 atoms
	H ₂	C ₃ *	c-C ₃ H	C ₅ *	C ₆ H	C ₆ H ₃ N	C ₆ H ₄ H	C ₆ H ₅ N	HC ₆ N	c-C ₆ H ₆ *	HC ₁₁ N	
AIF	C ₂ H	/C ₃ H	C ₄ H	/H ₂ C ₄	CH ₂ CHCN	HC(O)OCH ₃	CH ₃ CH ₂ CN	(CH ₃) ₂ CO	CH ₃ C ₆ H	n-C ₃ H ₇ CN	C ₆₀ *	
AlCl	C ₂ O	C ₃ N	C ₄ Si	C ₂ H ₄ *	CH ₃ C ₂ H	CH ₃ COOH	(CH ₃) ₂ O	(CH ₂ OH) ₂	C ₂ H ₅ OCHO	/C ₃ H ₇ CN 2014	C ₇₀ *	
C ₂ **	C ₂ S	C ₃ O	/C ₃ H ₂	CH ₃ CN	HC ₅ N	C ₇ H	CH ₃ CH ₂ OH	CH ₃ CH ₂ CHO	CH ₃ OC(O)CH ₃	C ₂ H ₅ OCH ₃ ?	C ₆₀ * *	
CH	CH ₂	C ₃ S	c-C ₃ H ₂	CH ₃ NC	CH ₃ CHO	C ₆ H ₂	HC ₇ N					
CH*	HCN	C ₂ H ₂ *	H ₂ CCN	CH ₃ OH	CH ₃ NH ₂	CH ₂ OHCHO	C ₈ H					
CN	HCO	NH ₃	CH ₄ *	CH ₃ SH	c-C ₂ H ₄ O	/HC ₆ H*	CH ₃ C(O)NH ₂					
CO	HCO ⁺	HCCN	HC ₃ N	HC ₃ NH ⁺	H ₂ CCHOH	CH ₂ CHCHO (?)	C ₈ H ⁻					
CO ⁺	HC ⁺	HCN ⁺	HC ₂ NC	HC ₂ CHO	C ₆ H ⁻	CH ₂ CCHCN	C ₃ H ₆					
CP	HOC ⁺	HNCO	HCOOH	NH ₂ CHO	CH ₃ NCO 2015	H ₂ NCH ₂ CN	CH ₃ CH ₂ SH (?)					
SIC	H ₂ O	HNCS	H ₂ CNH	C ₅ N		CH ₃ CHNH						
HCl	H ₂ S	HOCO*	H ₂ C ₂ O	/HC ₄ H*								
KCl	HNC	H ₂ CO	H ₂ NCN	/HC ₄ N								
NH	HNO	H ₂ CN	HNC ₃	c-H ₂ C ₃ O								
NO	MgCN	H ₂ CS	SIH ₄ *	H ₂ CCNH (?)								
NS	MgNC	H ₂ O ⁺	H ₂ COH ⁺	C ₆ N ⁻								
NaCl	N ₂ H ⁺	c-SiC ₃	C ₂ H ⁻	HNCHCN								
OH	N ₂ O	CH ₃ *	HC(O)CN									
PN	NaCN	C ₃ N ⁻	HNCNH									
SO	OCS	PH ₃	CH ₃ O									
SO ⁺	SO ₂	HCNO	NH ₄ ⁺									
SiN	c-SiC ₂	HO CN	H ₂ NCO ⁺ (?)									
SiO	CO ₂ *	HSCN	NCCNH ⁺ 2015									

Mali molekuli

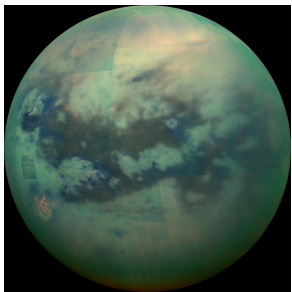
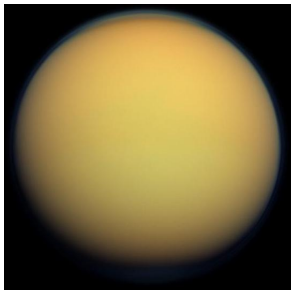
Extragalactic Molecules (as of 10/2015)

	2 atoms	3 atoms	4 atoms	5 atoms	6 atoms	7 atoms	8 atoms	>8 atoms
OH	H ₂ O	H ₂ CO	c-C ₃ H ₂	CH ₃ OH	CH ₃ CCH	HC ₆ H	c-C ₆ H ₆ *	
CO	HCN	NH ₃	HC ₃ N	CH ₃ CN	CH ₃ NH ₂			C ₆₀ * (?)
H ₂ *	HCO ⁺	HNCO	CH ₂ NH	HC ₄ H *	CH ₃ CHO			
CH	C ₂ H	C ₂ H ₂ *	NH ₂ CN	HC(O)NH ₂				
CS	HNC	H ₂ CS ?	/C ₃ H ₂					
CH ⁺ **	N ₂ H ⁺	HOCO ⁺	H ₂ CCN					
CN	OCS	c-C ₃ H	H ₂ CCO					
SO	HCO	H ₃ O ⁺	C ₄ H					
SIO	H ₂ S	/C ₃ H						
CO ⁺	SO ₂							
NO	HOC ⁺							
NS	C ₂ S							
NH	H ₂ O ⁺							
OH ⁺	HCS ⁺							
HF	H ₂ Cl [†] 2014							
SO ⁺	NH ₂ 2014							
ArH [†] 2015								

Mali molekuli - atmosfera Titana



- Cijanoacetilen i cijanodiacetilen opaženi u interstelarnom prostoru, dicijanoacetilen?
- Atmosfera Titana (N_2 , CH_4 , ...)
- $\text{C}_4\text{N}_{2(s)}$ detektovan
- C_4N_2 značajan za meteorologiju Titana
- $X^2\Pi_u$ elektronsko stanje katjona C_4N_2^+ , ispoljava **Rener-Telerov efekat**



Sadržaj izlaganja

1 Kvantno-hemski problem

- Šredingerova jednačina
- Born-Openhajmerova aproksimacija
- *Ab initio* metode

2 Mali molekuli

3 Rener-Telerov efekat - opšta razmatranja

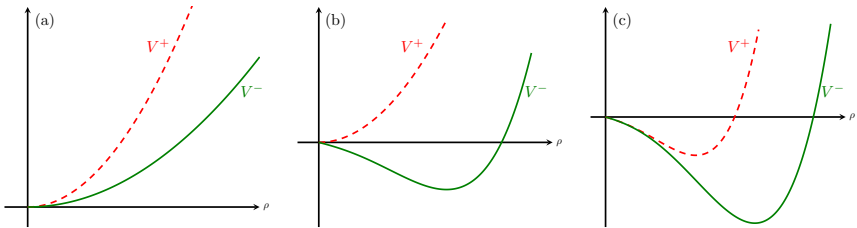
4 Model za tretiranje R-T efekta kod četvoroatomskih molekula

- Modelni hamiltonijan
- Elektronske bazne funkcije
- Elektronske bazne funkcije - dijabatizacija
- Mala odstupanj od linearnosti
- Ugao τ
- S-O matrični elementi
- Vibronska baza
- Rezultati

5 Model za molekule sa proizvoljnim brojem jezgara

Rener-Telerov efekat - opšta razmatranja

- Linearni molekuli (elektronska stanja Π , Δ , Φ , ...)
- $C_{\infty v}$, $D_{\infty h} \rightarrow C_S$, C_{2v} , C_{2h} , ...
- Vibraciono-elektronska (vibronska) sprega



- Troatomski molekuli
- Četvoroatomski molekuli

Sadržaj izlaganja

- 1 Kvantno-hemski problem
 - Šredingerova jednačina
 - Born-Openhajmerova aproksimacija
 - *Ab initio* metode
- 2 Mali molekuli
- 3 Rener-Telerov efekat - opšta razmatranja
- 4 Model za tretiranje R-T efekta kod četvoroatomskih molekula
 - Modelni hamiltonijan
 - Elektronske bazne funkcije
 - Elektronske bazne funkcije - dijabatizacija
 - Mala odstupanj od linearnosti
 - Ugao τ
 - S-O matrični elementi
 - Vibronska baza
 - Rezultati
- 5 Model za molekule sa proizvoljnim brojem jezgara

Modelni hamiltonijan

- a) Razmatrano elektronsko stanje je dovoljno odvojeno od drugih elektronskih stanja
- b) Ravnotežna geometrija molekula je linearna
- c) Harmonijska aproksimacija
- d) Sprega između savijajućih i istežućih vibracija je zanemarena
- e) Rotacija molekula u celini zanemarena
- f) Korišćene krivolinijske unutrašnje koordinate
- g) Primjenjen operator kinetičke energije jezgara za infinitezimalne savijajuće vibracije
- h) Primjenjen fenomenološki spin-orbitni operator
- i) Asimptotske (linearne) elektronske talasne funkcije su korišćene za matričnu reprezentaciju operatora kinetičke energije jezgara

Modelni hamiltonijan

- Molekulski hamiltonijan

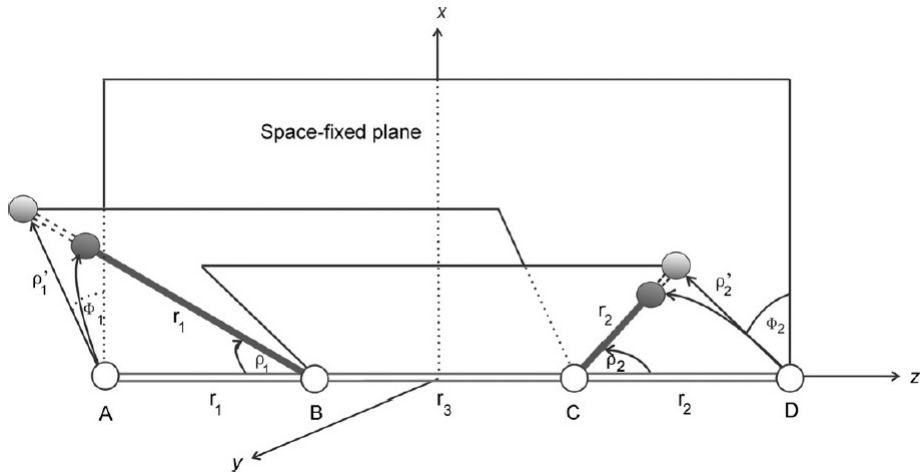
$$\hat{H} = \hat{H}_e + \hat{T}_n + \hat{H}_{SO}$$

- Elektronski spin-orbitni operator

$$\hat{H}_{SO} = A_{SO} \hat{L}_z \hat{S}_z$$

- Operator kinetičke energije za savijajuća kretanja jezgara
 - i) krivolinijske unutrašnje koordinate ($\rho_1, \phi_1, \rho_2, \phi_2$)
 - ii) krivolinijske simetrijske koordinate ($\rho_C, \phi_C, \rho_T, \phi_T$)
 - iii) pravolinijske unutrašnje/simetrijske koordinate
 - iv) normalne koordinate

Modelni hamiltonijan



[Perić et al. 2006]

Modelni hamiltonijan

- \hat{T}_n u krivolinijskim unutrašnjim koordinatama za dve (dvostruko degenerisane) infinitezimalne savijajuće vibracije

$$\begin{aligned}\hat{T}_n = & -\frac{1}{2\mu_1} \left(\frac{\partial^2}{\partial\rho_1^2} + \frac{1}{\rho_1} \frac{\partial}{\partial\rho_1} + \frac{1}{\rho_1^2} \frac{\partial^2}{\partial\phi_1^2} \right) - \frac{1}{2\mu_2} \left(\frac{\partial^2}{\partial\rho_2^2} + \frac{1}{\rho_2} \frac{\partial}{\partial\rho_2} + \frac{1}{\rho_2^2} \frac{\partial^2}{\partial\phi_2^2} \right) \\ & + \frac{1}{\mu_{12}} \left[\cos(\phi_2 - \phi_1) \left(\frac{\partial^2}{\partial\rho_1\partial\rho_2} + \frac{1}{\rho_1\rho_2} \frac{\partial^2}{\partial\phi_1\partial\phi_2} \right) \right. \\ & \left. + \sin(\phi_2 - \phi_1) \left(\frac{1}{\rho_1} \frac{\partial^2}{\partial\rho_2\partial\phi_1} - \frac{1}{\rho_2} \frac{\partial^2}{\partial\rho_1\partial\phi_2} \right) \right]\end{aligned}$$

$$V = \frac{1}{2}k_1\rho_1^2 + \frac{1}{2}k_2\rho_2^2 + k_{12}\rho_1\rho_2 \cos(\phi_2 - \phi_1)$$

Elektronske bazne funkcije

- Vibronska talasna funkcija u obliku

$$\Psi = f_1 \psi_1 + f_2 \psi_2$$

- Izbor elektronskih talasnih funkcija \Rightarrow adijabatske talasne funkcije

$$\hat{H}_e \psi^+ = V^+ \psi^+, \quad \hat{H}_e \psi^- = V^- \psi^-$$

- Matrični elementi od \hat{H}_{el} dijagonalni
- Matrični elementi od \hat{T}_n sadrže članove:

$$\left\langle \psi^+ \left| \frac{\partial}{\partial q_i} \right| \psi^+ \right\rangle = \left\langle \psi^- \left| \frac{\partial}{\partial q_i} \right| \psi^- \right\rangle = \frac{\partial}{\partial q_i}$$

$$\left\langle \psi^+ \left| \frac{\partial}{\partial q_i} \right| \psi^- \right\rangle = \left\langle \psi^+ \left| \frac{\partial \psi^-}{\partial q_i} \right. \right\rangle = - \left\langle \psi^- \left| \frac{\partial}{\partial q_i} \right| \psi^+ \right\rangle$$

- B-O aproksimacija?
- Izbegнута пресечења; чланови ρ_i^{-1} и $\rho_i^{-1} \rho_j^{-1}$

Elektronske bazne funkcije - dijabatizacija

- Dijabatske elektronske talasne funkcije

$$\begin{aligned}\eta_1 &= \psi^+ \cos(\Lambda\tau) - \psi^- \sin(\Lambda\tau) \\ \eta_2 &= \psi^+ \sin(\Lambda\tau) + \psi^- \cos(\Lambda\tau)\end{aligned}$$

- Matrični elementi elektronskog operatora u ovoj bazi

$$E_{11} = \langle \eta_1 | \hat{H}_e | \eta_1 \rangle = V^+ \cos^2(\Lambda\tau) + V^- \sin^2(\Lambda\tau)$$

$$E_{22} = \langle \eta_2 | \hat{H}_e | \eta_2 \rangle = V^+ \sin^2(\Lambda\tau) + V^- \cos^2(\Lambda\tau)$$

$$E_{12} = \langle \eta_1 | \hat{H}_e | \eta_2 \rangle = \frac{V^+ - V^-}{2} \sin(2\Lambda\tau) = \langle \eta_2 | \hat{H}_e | \eta_1 \rangle$$

- Ugao τ određujemo kao

$$\left\langle \eta_1 \left| \frac{\partial \eta_2}{\partial q_i} \right. \right\rangle = 0, \quad \frac{\partial \tau}{\partial q_i} = -\frac{1}{\Lambda} \left\langle \psi^+ \left| \frac{\partial \psi^-}{\partial q_i} \right. \right\rangle = \frac{1}{\Lambda} \left\langle \psi^- \left| \frac{\partial \psi^+}{\partial q_i} \right. \right\rangle$$

Elektronske bazne funkcije - dijabatizacija

- Sledеćа transformacija - linearne bazne funkcije

$$\psi_1 = \frac{1}{\sqrt{2}}(\eta_1 + i\eta_2) = \frac{1}{\sqrt{2}}e^{i\Lambda\tau}(\psi^+ + i\psi^-)$$

$$\psi_2 = \frac{1}{\sqrt{2}}(\eta_1 - i\eta_2) = \frac{1}{\sqrt{2}}e^{-i\Lambda\tau}(\psi^+ - i\psi^-)$$

- U linearnoj bazi matrični elementi elektronskog operatora oblika

$$E_{11}^{lin} = \langle \psi_1 | \hat{H}_e | \psi_1 \rangle = \frac{V^+ + V^-}{2} = \langle \psi_2 | \hat{H}_e | \psi_2 \rangle = E_{22}^{lin}$$

$$E_{12}^{lim} = \langle \psi_1 | \hat{H}_e | \psi_2 \rangle = \frac{V^+ - V^-}{2} e^{-2i\tau}$$

$$E_{21}^{lim} = \langle \psi_2 | \hat{H}_e | \psi_1 \rangle = \frac{V^+ - V^-}{2} e^{2i\tau}$$

- Kompleksni matrični elementi "linearnih" el. funkcija po koordinatama jezgara

Mala odstupanja od linearnosti

- Asimptotske forme adijabatskih el. talasnih funkcija

$$\psi_0^+ = \lim_{\rho_1 \rightarrow 0, \rho_2 \rightarrow 0} \psi^+ = \xi \frac{1}{\sqrt{\pi}} \cos[\Lambda(\theta - \tau)]$$

$$\psi_0^- = \lim_{\rho_1 \rightarrow 0, \rho_2 \rightarrow 0} \psi^- = \xi \frac{1}{\sqrt{\pi}} \sin[\Lambda(\theta - \tau)]$$

- Dijabatske elektronske funkcije

$$\eta_0^1 = \lim_{\rho_1 \rightarrow 0, \rho_2 \rightarrow 0} \eta_1 = \xi \frac{1}{\sqrt{\pi}} \cos(\Lambda\theta)$$

$$\eta_0^2 = \lim_{\rho_1 \rightarrow 0, \rho_2 \rightarrow 0} \eta_2 = \xi \frac{1}{\sqrt{\pi}} \sin(\Lambda\theta)$$

- "Linearne" elektronske funkcije

$$\psi_0^1 = \lim_{\rho_1 \rightarrow 0, \rho_2 \rightarrow 0} \psi_1 = \xi \frac{1}{\sqrt{2\pi}} e^{i\Lambda\theta}$$

$$\psi_0^2 = \lim_{\rho_1 \rightarrow 0, \rho_2 \rightarrow 0} \psi_2 = \xi \frac{1}{\sqrt{2\pi}} e^{-i\Lambda\theta}$$

- U okviru harm. aproksimacije i za II elektronsko stanje, sledi

$$\tau = -\frac{1}{2} \arctan \left\{ \frac{\epsilon_1 \rho_1^2 \sin(2\phi_1) + \epsilon_1 \rho_2^2 \sin(2\phi_2) + 2\epsilon_{12}\rho_1\rho_2 \sin(\phi_1 + \phi_2)}{\epsilon_1 \rho_1^2 \cos(2\phi_1) + \epsilon_1 \rho_2^2 \cos(2\phi_2) + 2\epsilon_{12}\rho_1\rho_2 \cos(\phi_1 + \phi_2)} \right\}$$

- Izvodi

$$\frac{\partial \tau}{\partial \rho_2} = \frac{\rho_1 \sin(\phi_2 - \phi_1) [\epsilon_1 \epsilon_{12} \rho_1^2 + \epsilon_2 \epsilon_{12} \rho_2^2 + 2\epsilon_1 \epsilon_2 \rho_1 \rho_2 \cos(\phi_2 - \phi_1)]}{(V^+ - V^-)^2}$$

$$\frac{\partial \tau}{\partial \phi_2} = \frac{\epsilon_2^2 \rho_2^4 + 2\epsilon_{12}^2 \rho_1^2 \rho_2^2 + \epsilon_{12} \rho_1 \rho_2 (\epsilon_1 \rho_1^2 + \epsilon_2 \rho_2^2) \cos(\phi_2 - \phi_1) + \epsilon_1 \epsilon_2 \rho_1^2 \rho_2^2 \cos 2(\phi_2 - \phi_1)}{(V^+ - V^-)^2}$$

S-O matrični elementi

- Matrični elementi operatora S-O sprege u "linearnoj" asimptotskoj bazi

$$\langle \psi_0^1 | \hat{H}_{SO} | \psi_0^1 \rangle = \Lambda \Sigma A_{SO}$$

$$\langle \psi_0^2 | \hat{H}_{SO} | \psi_0^2 \rangle = -\Lambda \Sigma A_{SO}$$

$$\langle \psi_0^1 | \hat{H}_{SO} | \psi_0^2 \rangle = \langle \psi_0^2 | \hat{H}_{SO} | \psi_0^1 \rangle = 0$$

- Elektronski matrični elementi su operatori koji treba da deluju na vibracione bazne funkcije
- Svojstvene funkcije 2D harmonijskog oscilatora

Kvantni brojevi

$$\hat{N}_z = \hat{R}_z + \hat{L}_z \quad \Rightarrow \quad K = l \pm \Lambda$$

$$\hat{J}_z = \hat{N}_z + \hat{S}_z \quad \Rightarrow \quad P = K + \Sigma$$

$$l = v, v - 2, \dots, 1 \quad \text{ili} \quad 0$$

Kompjutacioni detalji

- Adijabatske energije \Rightarrow FV-SA-CASSCF(9,10)/cc-pVQZ
- Dužine veza konstantne

$$\text{C-H} \equiv r = 2,04 \text{ bohr} = 1,0795 \text{ \AA}$$

$$\text{C-C} \equiv R = 2,37 \text{ bohr} = 1,2542 \text{ \AA}$$

- MOLPRO 2012.1 [[Werner et al. 2012](#)]

Parametri koji ulaze u model

TABLE I. Adiabatic electronic energies (V^+, V^-) for the components of the $X^2\Pi_u$ electronic state of C_2H_2^+ derived from CASSCF calculations at the C–H and C–C bond lengths kept fixed at 2.04 and 2.37 bohrs, respectively. $\bar{V} = (V^+ + V^-)/2$, $\Delta V = (V^+ - V^-)$, V_e is the energy at linear (equilibrium) geometry (computed in the D_{2h} point group).

ρ_1 (deg)	ϕ_1 (deg)	ρ_2 (deg)	ϕ_2 (deg)	V^+ (hartree)	V^- (hartree)	$\bar{V} - V_e$ (hartree)	ΔV (hartree)
0	0	0	0	-76.621 734 28	-76.621 734 28	0.0	0.0
10	0	9.99	0.01	-76.619 367 82	-76.619 272 02	0.002 414 36	-0.000 095 80
10	0	9.99	179.99	-76.619 846 90	-76.620 680 52	0.001 470 57	0.000 833 62

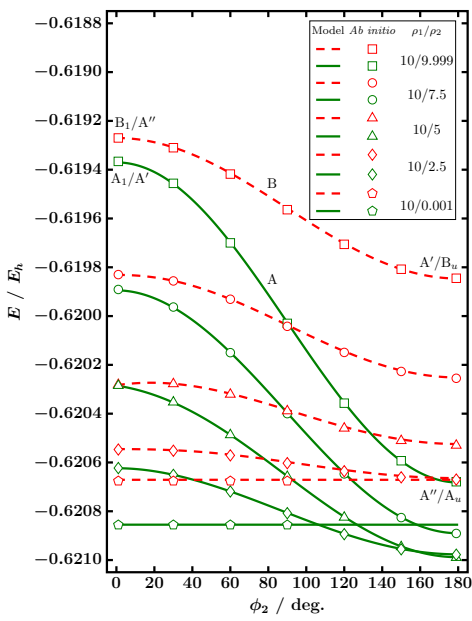
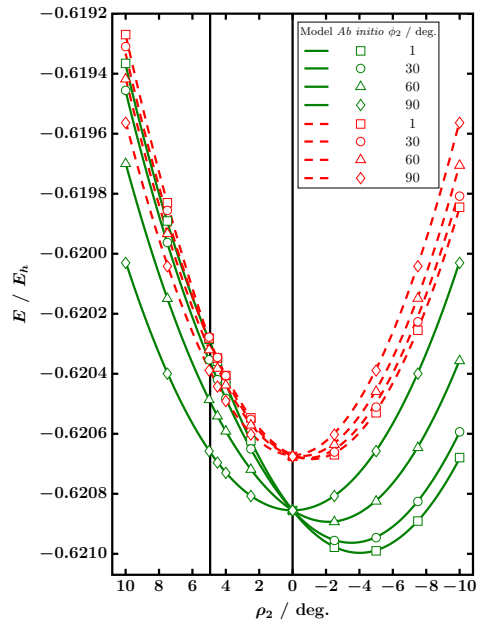
TABLE II. Molecular parameters for the $X^2\Pi_u$ electronic state of C_2H_2^+ derived from CASSCF calculations. All quantities are given in atomic units (hartree/rad²) except of u_1, u_2 , which are dimensionless.

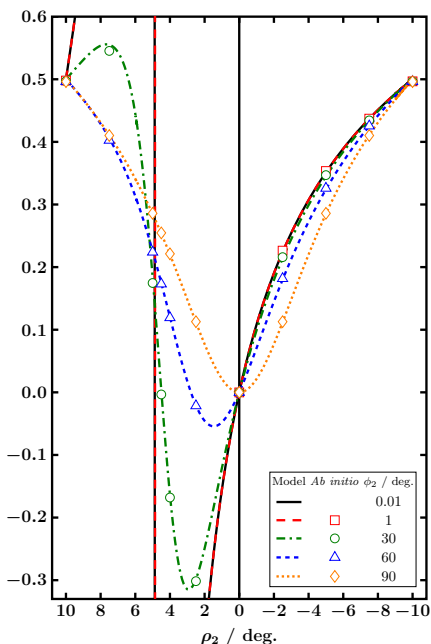
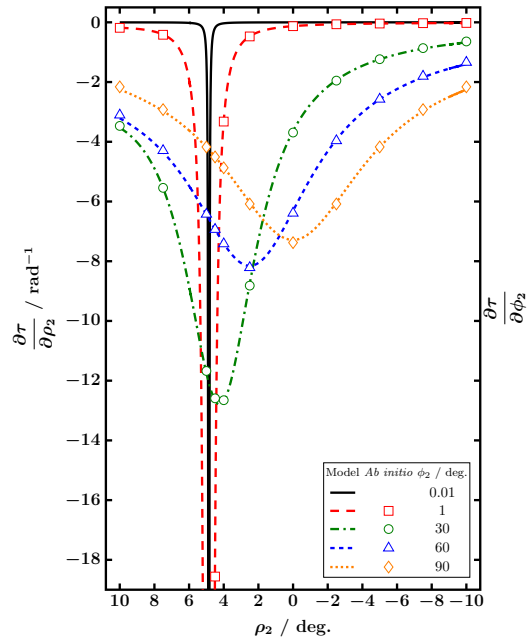
$k_T = 0.096\,542$	$k_C = 0.158\,508$	$\varepsilon_T = 0.027\,366$	$\varepsilon_C = -0.003\,145$
$k_1 = k_2 = 0.063\,763$	$k_{12} = 0.015\,492$	$\varepsilon_1 = \varepsilon_2 = 0.006\,055$	$\varepsilon_{12} = -0.007\,628$
$u_1 = 2.025\,715$	$u_2 = 0.493\,653$		

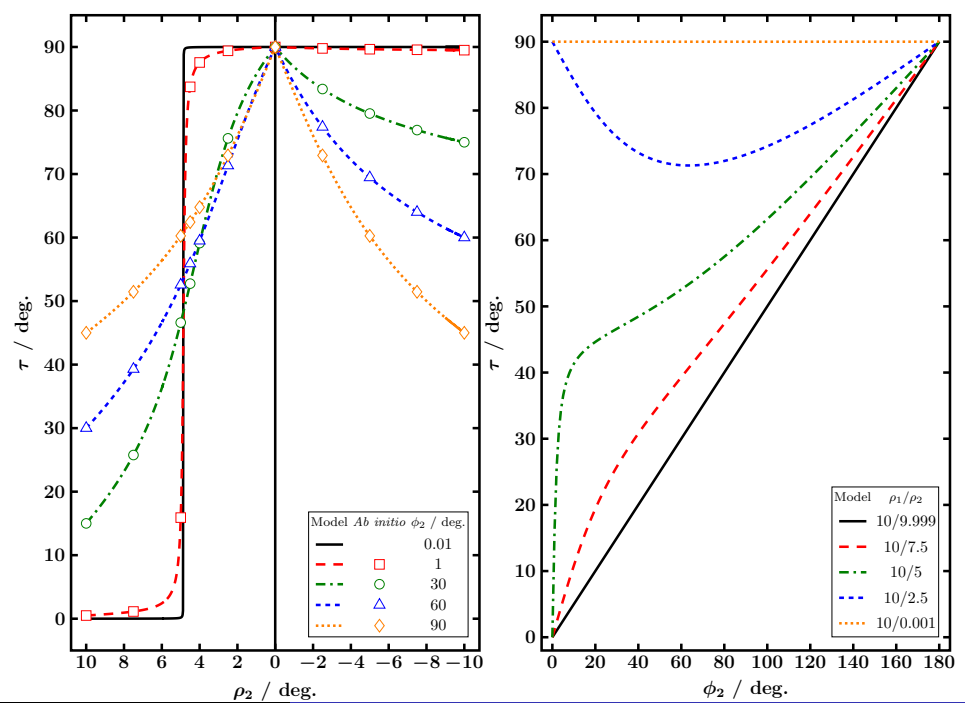
- Presecanja pri planarnim geometrijama [Perić 2006]

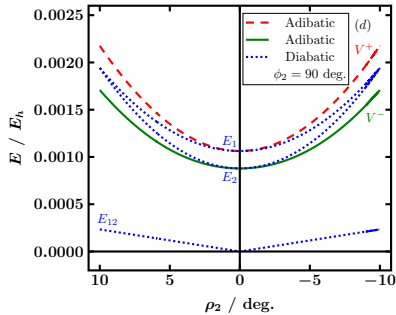
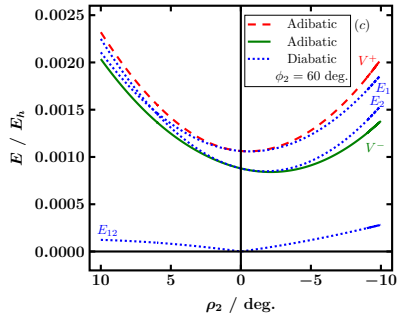
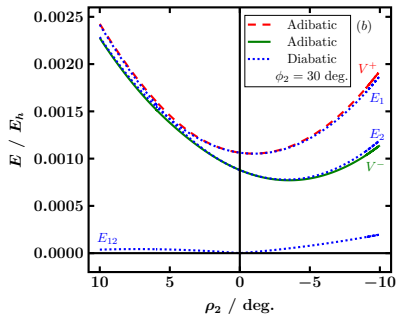
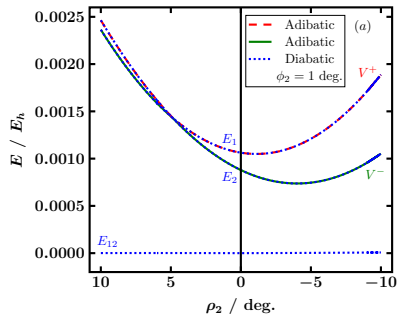
$$\rho_2 = u\rho_1, \quad u = \frac{-\epsilon_{12} \pm \sqrt{\epsilon_{12}^2 - \epsilon_1\epsilon_2}}{\epsilon_2}$$

- Ukupno 5 ab initio računa!









Vibronski spektar $C_2H_2^+$

TABLE III. Low-lying vibronic levels (in cm^{-1}) of the $X^2\Pi_u$ electronic state of $C_2H_2^+$. The set of parameters used in calculations of entries from columns Pert. and Var. is $\omega_T \equiv \omega_A = 692.32 \text{ cm}^{-1}$, $\omega_C \equiv \omega_S = 704.05 \text{ cm}^{-1}$, $\varepsilon_A = 0.2923$, $\varepsilon_S = 0.0219$ (the parameters $\varepsilon_A, \varepsilon_S$ are dimensionless), and $A_{SO} = -31.42 \text{ cm}^{-1}$. The numbers in parentheses are differences between the values from the corresponding column and those from column Expt.

v_T, v_C	State	Expt. ^a	Pert. ^b	Var. ^b
0, 0	$\Pi_{3/2u}$	0	0(0)	0(0)
	$\Pi_{1/2u}$	29.8	31.4(+2)	30.7(+1)
1, 0	Σ_u^-	499.5	505.1(+6)	502.7(+3)
	Σ_u^+	501.7	505.1(+3)	502.7(-1)
	$\Delta_{5/2u}$	672.9	662.7(-10)	662.3(-10)
	$\Delta_{3/2u}$	701.4	694.2(-7)	691.6(-10)
	Σ_u^-	909.9	911.0(+1)	913.0(+3)
	Σ_u^+	912.1	911.0(-1)	913.0(+1)
0, 1	Σ_g^+	694.9	697.7(+3)	697.8(+3)
	Σ_g^-	696.5	697.7(+1)	697.8(+1)
	$\Delta_{5/2g}$	713.4	703.9(-9)	703.9(-9)
	$\Delta_{3/2g}$	743.0	735.3(-8)	734.6(-8)
	Σ_g^+	738.2	741.8(+4)	741.0(+3)
	Σ_g^-	739.8	741.8(+2)	741.0(+1)
2, 0	$\Pi_{3/2u}$	1108.3	1105.1(-3)	1102.2(-6)
	$\Pi_{1/2u}$	1110.0	1107.6(-2)	1104.5(-5)
	$\Phi_{7/2u}$	1316.0	1310.7(-5)	1310.4(-6)
	$\Phi_{5/2u}$	1342.7	1342.1(-1)	1337.9(-5)
	$\Pi_{1/2u}$	1683.5	1678.4(-5)	1679.3(-4)
	$\Pi_{3/2u}$	1685.3	1680.8(-4)	1682.6(-3)
1, 1	$\Pi_{3/2g}$	1210.2	1208.3(-2)	1206.0(-4)
	$\Pi_{1/2g}$	1209.9	1208.4(-1)	1206.0(-4)
	$\Phi_{7/2g}$	1370.4	1366.6(-4)	1366.2(-4)
	$\Phi_{5/2g}$	1398.9	1398.0(-1)	1395.5(-3)
	$\Pi_{3/2g}$	1373.1	1367.0(-6)	1366.5(-7)
	$\Pi_{1/2g}$	1401.6	1398.4(-3)	1395.8(-5)
0, 2	$\Pi_{1/2g}$	1620.6	1615.5(-5)	1617.4(-4)
	$\Pi_{3/2g}$	1620.4	1615.5(-5)	1617.4(-3)
	$\Pi_{3/2u}$	1404.8	1396.8(-8)	1396.9(-8)
1, 2	$\Pi_{1/2u}$	1399.9	1397.0(-3)	1397.0(-3)
	$\Phi_{7/2u}$	1410.7	1407.7(-3)	1407.7(-3)
	$\Phi_{5/2u}$	1440.5	1439.1(-1)	1438.4(-2)
	$\Pi_{1/2u}$	1451.2	1450.6(-1)	1449.8(-1)
	$\Pi_{3/2u}$	1449.3	1450.7(+1)	1449.9(+1)

Sadržaj izlaganja

1 Kvantno-hemski problem

- Šredingerova jednačina
- Born-Openhajmerova aproksimacija
- *Ab initio* metode

2 Mali molekuli

3 Rener-Telerov efekat - opšta razmatranja

4 Model za tretiranje R-T efekta kod četvoroatomskih molekula

- Modelni hamiltonijan
- Elektronske bazne funkcije
- Elektronske bazne funkcije - dijabatizacija
- Mala odstupanj od linearnosti
- Ugao τ
- S-O matrični elementi
- Vibronska baza
- Rezultati

5 Model za molekule sa proizvoljnim brojem jezgara

Model za molekule sa proizvoljnim brojem jezgara

$$\begin{aligned}\hat{H} &= \hat{H}_e + \hat{T}_n + \hat{H}_{SO} \\ &= \hat{H}_e - \frac{1}{2} \sum_{i=1}^{S-2} \left(\frac{\partial^2}{\partial q_i^2} + \frac{1}{q_i} \frac{\partial}{\partial q_i} + \frac{1}{q_i^2} \frac{\partial^2}{\partial \phi_i^2} \right) \omega_i + A_{SO} \hat{L}_z \hat{S}_z\end{aligned}$$

$$\tau = -\frac{1}{2} \arctan \left\{ \frac{\sum_{i=1}^{S-2} \sum_{j=1}^{S-2} \varepsilon_{ij} \sqrt{\omega_i \omega_j} q_i q_j \sin(\phi_i + \phi_j)}{\sum_{i=1}^{S-2} \sum_{j=1}^{S-2} \varepsilon_{ij} \sqrt{\omega_i \omega_j} q_i q_j \cos(\phi_i + \phi_j)} \right\}$$

- Izbegнута пресечанја и при планарним и при непланарним геометријама
- Model testiran na primeru $X^2\Pi_u$ стања молекула C_5^-

Vibronski spektar C_5^-

Table 1

Low-lying $K = 0$ and $K = 2$ vibronic energy levels (in cm^{-1}) in the $X^2\text{II}_u$ electronic state of C_5^- .

v_T, v_{C1}, v_{C2}	$E^{(0)}$	$K = 0$				$K = 2$			
		Pert. ^a		Var. ^b		Pert. ^a		Var. ^b	
		$\Sigma = -1/2$	$\Sigma = 1/2$	$\Sigma = -1/2$	$\Sigma = 1/2$	$\Sigma = -1/2$	$\Sigma = 1/2$	$\Sigma = -1/2$	$\Sigma = 1/2$
0,0,1	1171	1098	1098	1091	1091	1112	1134	1108	1127
		1123	1123	1117	1117				
1,0,0	1347	1219	1219	1218	1218	1290	1312	1288	1307
		1409	1409	1402	1402				
0,0,3	1487	1369	1369	1358	1358	1380	1360	1364	1356
		1399	1399	1396	1396	1389	1408	1392	1402
0,1,0	1534	1373	1373	1385	1385	1452	1474	1446	1464
		1684	1684	1677	1677				
1,0,2	1663			1493	1493	1495	1491	1493	1492
				1547	1547	1564	1586	1559	1575
				1561	1561	1682	1686	1659	1664
				1663	1663				
0,0,5	1803	1639	1639	1632	1632	1647	1632	1634	1630
		1677	1677	1677	1677	1669	1684	1674	1681
0,1,2	1850			1660	1660	1690	1687	1681	1692
				1670	1670	1684	1706	1704	1705
				1704	1704	1998	2002	2039	2037
			2051	2051					
1,0,4	1979		1770	1770		1770	1770	1770	1815
				1820	1820			1829	1815
				1843	1843			1839	1815
				1939	1939			1929	1935
3,0,0	2015	1786	1786	1785	1785	1809	1813	1809	1811
		2165	2165	2147	2147	2141	2138	2132	2138
1,1,1	2026	1820 ^c		1813	1813	1844 ^d	1844 ^d	1821	1828
		1820 ^c		1919	1919	2015 ^d	2037 ^d	1870	1882
		1926 ^c		1930	1930	2015 ^d	2037 ^d	1945	1954
		1926 ^c		2064	2064	2208 ^d	2208 ^d	2175	2179
		2182 ^c		2173	2173				
		2182 ^c		2194	2194				

Vibronski spektar C_5^-

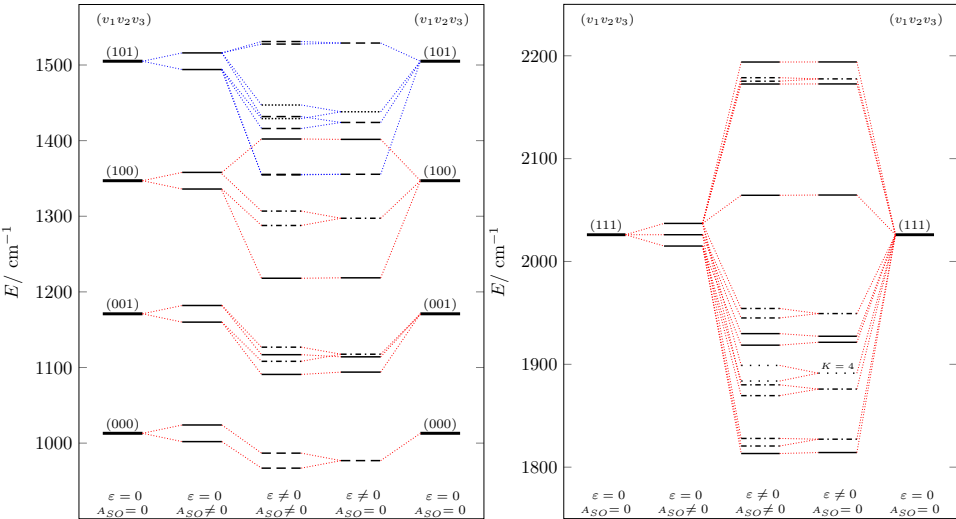
Table 2

Low-lying $K = 1$ and $K = 3$ vibronic energy levels in the $X^2\Pi_u$ electronic state of C_5^- .

$\nu_T, \nu_{C1}, \nu_{C2}$	$E^{(0)}$	$K = 1$				$K = 3$			
		Pert. ^a		Var. ^b		Pert. ^a		Var. ^b	
		$\Sigma = -1/2$	$\Sigma = 1/2$	$\Sigma = -1/2$	$\Sigma = 1/2$	$\Sigma = -1/2$	$\Sigma = 1/2$	$\Sigma = -1/2$	$\Sigma = 1/2$
0,0,0	1013	969	991	967	987	-	-	-	-
0,0,2	1329	1240	1229	1228	1222	1255	1277	1250	1267
		1255	1266	1253	1260				
1,0,1	1505	1357	1354	1355	1355	1433	1455	1429	1447
		1420	1442	1416	1432				
		1545	1548	1528	1531				
0,0,4	1645	1509	1500	1496	1494	1520	1492	1499	1492
		1534	1542	1534	1537	1523	1550	1532	1544
2,0,0	1681	1510	1511	1509	1510	1604	1626	1605	1624
		1780	1778	1767	1765				
0,1,1	1692	1532	1529	1542	1544	1581	1603	1569	1585
		1555	1577	1554	1564				
		1840	1844	1875	1880				
1,0,3	1821			1631	1631	1633	1625	1632	1631
				1692	1682	1707	1729	1703	1718
				1695	1707	1816	1824	1792	1798
				1794	1798				
1,1,0	1868	1665	1668	1674		1773	1795	1767	1768
		1800	1822	1803					
		2033	2029	2017					
0,0,6	1961	1777	1771	1771		1786	1765	1773	1784
		1813	1819	1817		1804	1825	1818	1828
0,1,3	2008			1791		1813	1835	1813	1823
				1793		1851	1841	1855	1854
				1794		2153	2163	2198	2199
				1803					
0,2,0	2055	1828	1832	1875	1880	1924	1946	1917	1933
		2272	2268	2263	2267				

- (a) [Perić et al. 2008]
(b) [Mitić et al. 2016]

Vibronski spektar C_5^-



Zaključak

- Born-Openhajmerova aproksimacija
- *Ab initio* metode
- Mali molekuli
- Rener-Telerov efekat
- Model za tretiranje vibronske sprege kod četvoroatomskih molekula
- Ključan korak - dijabatizacija
- Kombinacija neke vrste J-T efekta i R-T efekta
- Model za molekule sa proizvoljnim brojem jezgara

M. Perić, S. Jerosimić, M. Mitić, M. Milovanović, R. Ranković, "Underlying theory of a model for the Renner–Teller effect in tetra-atomic molecules: $X\ ^2\Pi_u$ electronic state of $C_2H_2^+$ ", *The Journal of Chemical Physics*, **142**, 174306 (2015), doi: [10.1063/1.4919285](https://doi.org/10.1063/1.4919285).

M. Mitić, R. Ranković, M. Milovanović, S. Jerosimić, M. Perić, "Underlying theory of a model for the Renner–Teller effect in any-atomic linear molecules on example of the $X\ ^2\Pi_u$ electronic state of C_5^- ", *Chemical Physics*, **464**, 55 (2016), doi: [10.1016/j.chemphys.2015.11.002](https://doi.org/10.1016/j.chemphys.2015.11.002).

Hvala na pažnji!

